

# مطالعه رفتار همگرایی در محلولهای آبی غلظت دهنده‌های پلی‌یورتانی رشد یافته مرحله‌ای

## Study of Association Behavior in Step Growth HEUR Aqueous Solutions

محمد برمرا<sup>۱\*</sup>، مهدی باریکانی<sup>۱</sup>، بابک کفاشی<sup>۲</sup>

۱- تهران، پژوهشگاه پلیمر و پتروشیمی ایران، پژوهشکده علوم، گروه پلی‌یورتان و مواد ویژه،

صندوق پستی ۱۴۹۶۵/۱۱۵

۲- تهران، دانشگاه تهران، دانشکده فنی، گروه مهندسی شیمی، صندوق پستی ۱۱۳۶۵/۴۵۶۳

دریافت: ۸۲/۴/۲۲، پذیرش: ۸۲/۸/۵

### چکیده

غلظت دهنده‌های پلی‌یورتانی یکی از دسته‌های مهم در گروه غلظت دهنده‌های همگرا بشمار می‌رود. این مواد با توجه به روش سنتز و توزیع وزن مولکولی به دو گروه S-G HEUR و Uni-HEUR تقسیم می‌شوند. در این کار پژوهشی، سه مدل غلظت دهنده S-G HEUR سنتز شد. برای تهیه آنها، ابتدا پیش پلیمرهایی با وزنهای مولکولی مختلف از واکنش پلیمرشدن افزایشی پلی‌اتیلن کلیکول با وزن مولکولی متوسط ۶۰۰۰ و دی‌ایزوسیانات MDI<sub>12</sub> H<sub>12</sub> معین شده. همچنین، رفتار همگرایی ستیل الکل روی آنها استخراج گردید. وزنهای مولکولی غلظت دهنده‌های مدل به کمک GPC معین شد. همچنین، رفتار همگرایی مواد یاد شده به وسیله گرانزوی سنج آبلهود بررسی گردید. سپس، با استفاده از رئومتر صفحه و مخروط نتایج حاصل از گرانزوی سنج آبلهود مورد ارزیابی قرار گرفت. نتایج نشان می‌دهد که همگرایی در غلظت دهنده‌های پلی‌یورتانی، حتی در درصد وزنی کم وجود دارد. همچنین، با کاهش طول بخش آبدوست، میزان همگرایی بیشتر می‌گردد.

### واژه‌های کلیدی

غلظت دهنده، پلی‌یورتان،  
همگرایی، گرانزوی بررسی پایدار،  
محلول آبی

### مقدمه

مصنوعی بودن، به دو گروه مهم همگرا و ناهمگرا تقسیم می‌شوند. در غلظت دهنده‌های ناهمگرا، مکانیسم اصلی غلظت دهنده‌گی، تورم مولکولهای پلیمری غلظت دهنده و گره‌های مولکولی بین زنجیرهای است. در این مواد، وزن مولکولی پیش پلیمر نقشی اساسی در بازده

با پیشرفت و توسعه سیستمهای رنگ و پوشش بر پایه آب، اهمیت غلظت دهنده‌ها نیز روز به روز بیشتر می‌شود. علت استفاده از غلظت دهنده، ایجاد رفتار رئولوژی مناسب برای سیستمهای رنگ و پوششهای پایه آبی است [۱، ۲]. غلظت دهنده‌ها صرف نظر از طبیعی یا

### Key Words

thickener, polyurethane,  
association, steady shear viscosity,  
aqueous solution

شد. دی‌ایزوسیانات  $H_{12}MDI$  با نام تجاری Desmodur W از شرکت بایر تهیه و به همان حالت دریافت شده، مصرف گردید. حللهای تولوئن، THF و ستیل‌الکل نیز از شرکت مرک تهیه شدند. کاتالیزور دی‌بوتیل‌تین دی‌لورات نیز از شرکت آلدربیچ تهیه شد.

### دستگاهها

آزمایش‌های طیف‌سنگی زیرقرمز به کمک دستگاه FTIR ساخت Bruker مدل IFS 48 انجام پذیرفت. وزنهای مولکولی نمونه‌های سنتز شده به روش کروماتوگرافی ژل تراوایی (GPC) (با استفاده از پمپ مدل Gyukotek و شکست‌سنجد EKMA مدل ۷۵۱۲ ERC معین شد. فاز متحرک حلال کلروفرم بود که با سرعت  $1\text{ mL/min}$  جریان داشت. ستون مورد استفاده نیز فنوژل (phenogel)  $5\mu\text{m}$  با طول  $60\text{ cm}$  بود. همچنین، از استانداردهای پلی‌اتیلن گلیکول برای تعیین وزنهای مولکولی استفاده شد. مقادیر گرانروی برشی حالت پایدار به کمک دستگاه رثومتر UDS ۲۰۰ ساخت شرکت Paar Physica با استفاده از سیستم صفحه و مخروط اندازه‌گیری شد. زاویه مخروط  $2^\circ$  درجه و ابعاد صفحه  $75\text{ mm}$  بود. فاصله نهایی مخروط از صفحه در حد  $0.05\text{ mm}$  تنظیم شده بود.

### روشها

#### سترهای پلیمر

در این کار پژوهشی، غلظت دهنده‌های مدل با استفاده از روش رشد مرحله‌ای (S-G HEUR) تهیه شدند. واکنش‌های شیمیایی مربوط در طرح ۱ نشان داده شده است.

همان‌طور که در طرح ۱ مشخص است، در مرحله اول (تهیه پیش‌پلیمر)، ابتدا پلی‌اتیلن گلیکول با  $H_{12}MDI$  واکنش داده می‌شود. در این مرحله، گروههای ایزوسیانات با گروههای هیدروکسیل پلی‌ال واکنش می‌دهند.

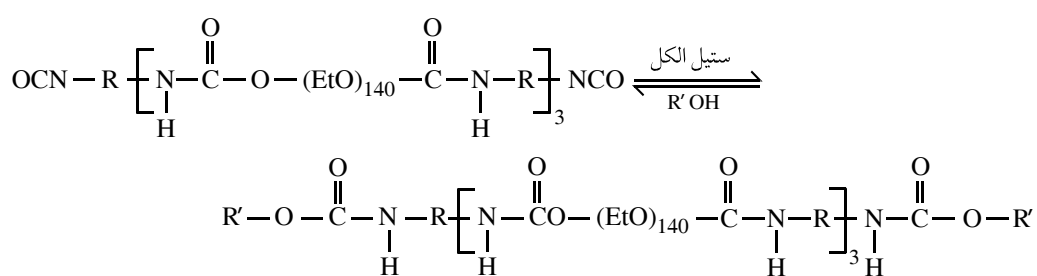
غلظت دهنده‌گی دارد [۳]. غلظت دهنده‌های همگرا دارای ساختاری آبدوست با انتهایی آبگریزند. زمانی که این مواد در داخل آب قرار می‌گیرند، به علت ماهیت دوگانه‌ای که از لحاظ آبدوستی دارند، تشکیل می‌سل می‌دهند [۴]. بعد این می‌سل‌ها و نیز زنجیرهایی که بین آنها قرار می‌گیرند، روی بازده غلظت دهنده‌گی این مواد مؤثر است [۵]. در دهه اخیر، کارهای پژوهشی زیادی روی غلظت دهنده‌های پلی‌پورتانی انجام پذیرفته است [۶-۱۲]. این مطالعات، شامل بررسی رفتارهای رئولوژیکی و مدل کردن آنها و نیز اثر مواد کاهش کشش سطحی مختلف بر بازده غلظت دهنده‌گی این مواد بوده است. این غلظت دهنده‌ها در واقع پلی‌پورتانهای بر پایه اتیلن گلیکول اند که از نظر آبگریزی اصلاح شده‌اند. (Hydrophobically Modified Ethoxylated Urethane, HEUR) با توجه به روش فراورش، امکان ساخت این مواد با توزیع وزن مولکولی باریک (Uni-HEUR) یا پهنه (S-G HEUR) (پلی‌پورتان رشد یافته مرحله‌ای) فراهم می‌شود [۱۳]. بیشتر کارهای پژوهشی انجام شده بر پایه خانواده Uni-HEUR بوده است.

از آنجا که غلظت دهنده‌های پلی‌پورتانی، جزء غلظت دهنده‌های همگرای سنتزی اند، میزان کارایی و بازده غلظت دهنده‌گی آنها با میزان همگرایی غلظت دهنده‌های همگرا مناسب است. در این کار، برای اولین بار از گرانروی سنج آبلهود برای بررسی کیفی میزان همگرایی غلظت دهنده‌های پلی‌پورتانی استفاده شده است. برای این منظور، سه مدل غلظت دهنده رشد یافته مرحله‌ای با ساختار مشخص ستز و رفتار همگرایی آنها مورد مطالعه قرار گرفت.

### تجربی

### مواد

پلی‌اتیلن گلیکول با وزن مولکولی  $6000$  از شرکت مرک تهیه و مصرف



طرح ۱- واکنش‌های شیمیایی تهیه S-G HEUR

جدول ۱- وزنهای مولکولی غلظت دهنده‌های مدل.

PDI	Mn	OH/NCO	غلظت دهنده مدل
۱/۸	۶۴۱۰	۰/۴۷۸	HEUR۱
۱/۹	۸۹۸۰	۰/۷۰۳	HEUR۲
۲/۵	۱۳۰۷۳	۰/۸۳۵	HEUR۳

متوسط آنها به کمک GPC معین شد. نتایج حاصل بهمراه نسبت مولی اولیه گروههای عامل هیدروکسیل و ایزوسیانات مربوط به واکنشگرها در جدول ۱ آورده شده است.

همان طور که در این جدول مشخص است، با افزایش نسبت مولی OH/NCO، وزن مولکولی متسط عددی غلظت دهنده‌ها نیز افزایش می‌یابد. اگر چه این نسبت مولی کنترل کننده وزن مولکولی متسط پیش‌پلیمر است، اما وزن مولکولی غلظت دهنده نیز تابع مستقیمی از وزن مولکولی متسط پیش‌پلیمر است، چون در غلظت دهنده سنتز شده تنها دو مولکول ستیل الکل به انتهای زنجیر پیش‌پلیمر افزوده شده است. گرانزوی ذاتی غلظت دهنده‌های مدل در حلال THF در حمام  $30^{\circ}\text{C}$  به کمک گرانزوی سنج آبلهود اندازه گیری شد. نتایج در جدول ۲ نشان داده شده است. مقادیر گرانزوی ذاتی با بردن یابنی نسبت گرانزوی ویژه به غلظت، در غلظت صفر محاسبه شده و در ستون پنجم آورده شده است. در حالی که هیچ گونه همگرایی وجود نداشته باشد، انتظار بر این است که مقادیر گرانزوی ذاتی نیز همانند وزنهای مولکولی نمونه‌ها، از غلظت دهنده ۱ تا  $3\text{ روند صعودی}$  داشته باشد، در حالی که چنین نیست. نمونه غلظت دهنده ۱ که دارای وزن مولکولی کمتر از نمونه ۲ است، دارای گرانزوی ذاتی بیشتری است. دلیل این رفتار به پدیده همگرایی در غلظت دهنده‌های پلی‌یورتانی برمی‌گردد. در اینجا گرانزوی ذاتی، برایند دو مؤلفه وزن مولکولی و میزان همگرایی است. مثلاً در نمونه ۱ مقدار مؤلفه همگرایی بمراتب از نمونه ۲ بیشتر است. بزرگ بودن این مؤلفه در نمونه ۱ باعث شده است که برایند گرانزوی ذاتی نمونه ۱ از نمونه ۲ بیشتر شود. بنابراین، نقش مؤثر همگرایی در نمونه‌های تهیی

جدول ۲- مقادیر گرانزوی ذاتی غلظت دهنده‌های مدل در حلال THF.

گرانزوی ذاتی در $C = 0\text{ (g/dL)}$	گرانزوی ویژه			غلظت دهنده مدل
	$C = 0/۳$ (g/dL)	$C = 0/۲$ (g/dL)	$C = 0/۱$ (g/dL)	
۰/۲۷۹	۰/۳۰۶	۰/۳۰۱	۰/۲۸۵	HEUR۱
۰/۲۳۷	۰/۲۹۹	۰/۲۷۳	۰/۲۵۹	HEUR۲
۰/۳۸۳	۰/۴۷۱	۰/۴۶۱	۰/۳۹۱	HEUR۳

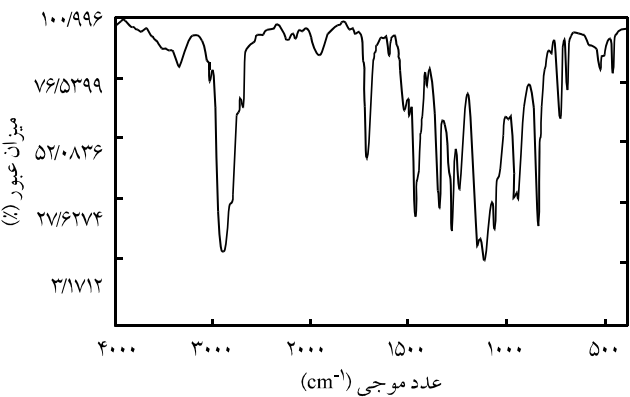
زنجرهای پلی‌اتیلن گلیکول با تشاهی مکانیکی و نیز وجود اکسیژن براحتی تخریب می‌شوند. پارامتر مخرب دیگر در این گونه سیستمهای واکنش آب با گروههای ایزوسیانات است. پلی‌اتیلن گلیکول ماده‌ای بشدت آبدوست است و جداسازی آب از آن مشکل است. حلال THF نیز شرایط نسبتاً مشابهی دارد. برای انجام واکنش ضروری است مواد اولیه کاملاً خشک و عاری از رطوبت باشند. عموماً گزارش‌های علمی موجود در زمینه سنتز این مواد شامل شرایط استفاده شده نیست [۱۳].

روش خشک کردن پلی‌اتیلن گلیکول، استفاده از تقطیر آرئوتروپیک آب و تولوئن است [۱۴]. پس از خشک کردن پلی‌اتیلن گلیکول، کاتالیزور بهمراه تولوئن به راکتور افزوده می‌شود. با گذشت  $6\text{ h}$  واکنش و با ثابت شدن مقدار NCO آزاد، واکنش پیش‌پلیمر پایان می‌یابد. درصد NCO آزاد را می‌توان با استفاده از روش استاندارد ASTM بدست آورد [۱۵].

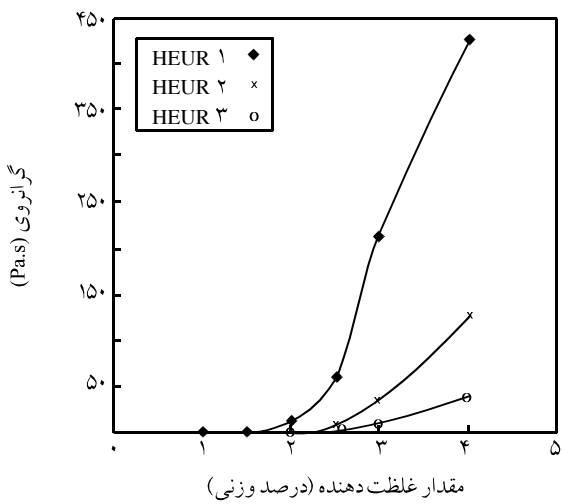
در مرحله پایانی که استخلاف گروههای آبگریز است، ستیل الکل بهمراه تولوئن خشک به مقداری بیشتر از حد استوکیومتری به سیستم واکنش اضافه می‌گردد. این واکنش تا حدود  $2\text{ h}$  ادامه می‌یابد.

## نتایج و بحث

پس از پایان واکنش از محلول واکنش طیف FTIR گرفته شد. در شکل ۱ نمونه‌ای از این طیفها، که مربوط به غلظت دهنده ۱ است، مشاهده می‌شود. پیک  $1670\text{ cm}^{-1}$  مربوط به گروه کربونیل اتصال یورتانی است. عدم وجود پیک  $2220\text{ cm}^{-1}$  مربوط به وجود گروههای آزاد NCO، نشان دهنده پایان واکنش و استخلاف ستیل الکل بر انتهای پیش‌پلیمر است. پس از سنتز موفقیت آمیز غلظت دهنده‌های مدل، وزنهای مولکولی



شکل ۱- طیف مربوط به تشکیل غلظت دهنده پلی‌یورتانی ۱.



شکل ۳- مقایسه بازده غلظت دهنده‌گی نمونه‌های سنتز شده.

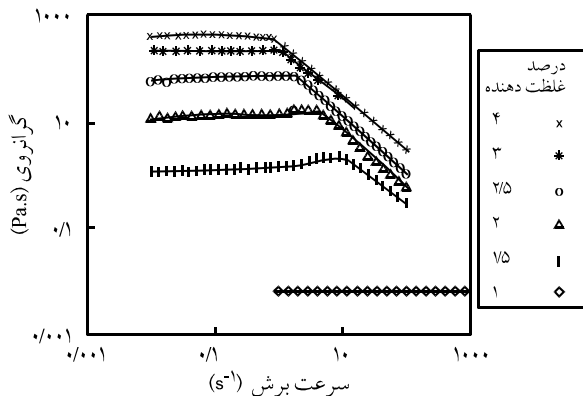
غلظت دهنده‌گی در این مواد رابطه مستقیم با میزان همگرایی دارد. نتایج بالا با نتایج حاصل از گرانزوی سنج آبلهود توافق بسیار خوبی را نشان می‌دهند.

## نتیجه‌گیری

غلظت دهنده‌های پلی‌پورتانی با استفاده از یک سیستم واکنشی تهیه شدند. روند پیشرفت واکنش با طیف‌سنجدی زیرقرمز بررسی گردید. وزنهای مولکولی غلظت دهنده‌ها با روش GPC معین شد. آزمایش‌های انجام شده با گرانزوی سنج آبلهود نشان می‌دهد که همگرایی در غلظت دهنده‌های پلی‌پورتانی، حتی در درصدهای وزنی کم نیز وجود دارد و با کاهش طول بخش آبدوست (نمونه ۱) این همگرایی بسیار قوی است. نتایج گرانزوی سنج برشی پایدار نیز با نشان دادن بازده زیاد غلظت دهنده‌گی این نمونه، قوی بودن همگرایی در محلولهای نمونه ۱ را تأیید می‌کند.

## قدرتدازی

بدین وسیله از پژوهشگاه پلیمر و پتروشیمی ایران که تامین کننده اعتبار این طرح پژوهشی است و از کارکنان بخش رئولوژی دانشگاه گرتس اتریش به دلیل مساعدت و همکاری در انجام آزمایش‌های رئومتری محلولهای غلظت دهنده‌های سنتز شده، سپاسگزاری می‌شود.



شکل ۲- مقادیر گرانزوی برشی حالت پایدار محلولهای مختلف شامل مقادیر متفاوت وزنی از غلظت دهنده ۱.

شده با طول بخش آبدوست کوچکتر به خوبی مشاهده می‌شود.

برای اثبات صحت این نتیجه گیری از روش رئومتری و مطالعه گرانزوی برشی حالت پایدار محلولهای غلظت دهنده‌های مذکور نیز استفاده گردید. در شکل ۲ رفتار محلولهای مختلف شامل مقادیر متفاوت وزنی از غلظت دهنده ۱ نسبت به سرعت برش مشاهده می‌گردد.

تمام محلولهای غلظت دهنده‌های پلی‌پورتانی در سرعتهای برش کم در منحنی گرانزوی در برابر سرعت برش ناحیه‌ای خطی نشان می‌دهند. به این ناحیه اصطلاحاً گرانزوی نیوتونی گفته می‌شود. افزون بر ناحیه خطی مزبور دو ناحیه افزایش و کاهش گرانزوی در اثر تغییرات سرعت برش در محلولهای یاد شده مشاهده می‌گردد، که نتایج بررسی آنها در مطالعات قبلی ارائه شده است [۱۶].

معمولًا برای بررسی بازده غلظت دهنده‌گی مواد غلظت دهنده، مقادیر مربوط به ناحیه نیوتونی مورد ارزیابی قرار می‌گیرد. بنابراین، آزمایش رئومتری یاد شده برای دو نمونه غلظت دهنده ۲ و ۳ نیز انجام پذیرفت. مقادیر ناحیه گرانزوی نیوتونی هر سه غلظت دهنده، با توجه به مقادیر درصد وزنی آنها، در شکل ۳ باهم مقایسه گردیده است.

همان‌طور که در شکل ۳ مشاهده می‌شود، رفتار غلظت دهنده ۱ تفاوت بارزی با نمونه‌های ۲ و ۳ دارد. به عبارت دیگر، بازده غلظت دهنده‌گی نمونه ۱ بمراتب بیشتر از نمونه‌های دیگر است. چون غلظت دهنده‌های پلی‌پورتانی جزء غلظت دهنده‌های همگرا بشمار می‌رود و در غلظت دهنده‌های همگرا، مکانیسم همگرایی متاثر از همگرایی است و نیز با توجه به بازده زیاد نمونه ۱ می‌توان به این نتیجه رسید که میزان همگرایی در این نمونه بسیار زیاد است. زیرا، بازده

## مراجع

1. Rokowski J.M., Schaller E.J. and Aviles R.G., Advances in Rheology Control of Aqueous Coating: From Additives to Latex Design, *14th International Conference in Organic Coatings Science and Technology*, July 11-15, 1988.
2. *Handbook of Coatings Additives*, Leonard J.C. (Ed.), **2**, Marcel Dekker, 105-109, 1992.
3. *Polymers in Aqueous Media Performance through Association*, Glass J.E. (Ed.), Advances in Chemistry Series 223, ACS, Washington DC, 399-424, 1989.
4. Maechling-strasser C., Francois J. and Clouet F., Hydrophobically End-Capped Poly(ethylene oxide) Urethanes: 1. Characterization and Experimental Study of their Association in Aqueous Solution, *Polymer*, **33**, 627-636, 1992.
5. Yekta A., Xu B., Duhamel J., Adiwi Djaja H. and Winnik M.A., Fluorescence Studies of Associating Polymers in Water: Determination of the Chain End Aggregation Number and a Model for the Association Process, *Macromolecules*, **28**, 956-966, 1995.
6. Lundberg D.J., Brown R.G., Glass J.E. and Eley R.R., Synthesis, Characterization, and Solution Rheology of Model Hydrophobically-Modified, Water-Soluble Ethoxylated Urethanes, *Langmuir*, **10**, 3027-3034, 1994.
7. Wetzel W. and Glass J.E., Block HEUR Associative Thickeners in Coatings, *Polym. Mater. Sci. Eng.*, **73**, 329-330, 1995.
8. Chassenieux C., Nicolai T. and Durand D., Association of Hydrophobically End-Capped Poly(ethylene oxide), *Macromolecules*, **30**, 4952-4958, 1997.
9. Tam K.C., Jenkins R.D., Winnik M.A. and Bassel D.R., A Structural Model of Hydrophobically Modified Urethane-Ethoxylated (HEUR) Associative Polymers in Shear Flows, *Macromolecules*, **31**, 4149-4159, 1998.
10. Chassenieux C., Nicolai T. and Durand D., <sup>1</sup>H NMR Study of the Association of Hydrophobically End-Capped Poly(ethylene oxide), *Macromolecules*, **31**, 4035-4037, 1998.
11. Cathebras N., Collet A. and Viguier M., Synthesis and Linear Viscoelasticity of Fluorinated Hydrophobically Modified Ethoxylated Urethanes (F-HEUR), *Macromolecules*, **31**, 1305-1311, 1998.
12. Edwards J.G., Adsorption of Hydrophobically-Modified, Ethoxylated Urethane Thickeners on Latex Titanium Dioxide Disperse Phases, *Adv. Colloid Interface Sci.*, **79**, 123-148, 1999.
13. *Hydrophilic Polymers, Performance with Environmental Acceptance*, Glass J.E. (Ed.), Advances in Chemical Series 248, ACS, Washington DC, 163-179, 1996.
14. Emmons W.D., Valley H. and Stevens T.E., Polyurethane Thickeners in Latex Compositions, *US Pat. 4, 079, 028*, 1978.
15. Standard Test Method for Isocyanate Groups in Urethane Materials of Perpolymer, D 2572-91, **06.03**, ASTM, 1995.
16. Barmar M., Ribitsch V., Kaffashi B., Barikani M., Sarreshtehdari Z. and Pfragner J., Influence of Prepolymers Molecular Weight on the Viscoelastic Properties of Aqueous HEUR Solutions, *J. Colloid Polym. Sci.*, In Press, 2004.